

# 一种基于概念矩阵的概念格生成算法

陈 震 张 娜 王 甦 菁

(吉林大学计算机科学与技术学院 长春 130012)

**摘 要** 概念格作为形式概念分析理论中的核心数据结构,在机器学习和数据挖掘等领域有着广泛的应用。构造概念格十分重要,针对此引入了概念矩阵思想,提出了基于概念矩阵的概念格生成算法 CMCG(Concept-Matrix Based Concepts Generation)。该算法从格的顶端节点开始构造,基于概念矩阵,利用属性的秩为每个节点生成它的所有子节点,完成子节点到父节点之间的链接,并生成哈斯图。给出了这种算法的理论依据。最后提供了这一算法的伪码,并通过实验证明了 CMCG 算法的时间性能优于 Lattice 算法。

**关键词** 概念格,概念矩阵,矩阵的秩,形式概念分析,哈斯图

**中图法分类号** TP18 **文献标识码** A

## New Algorithm of Generating Concept Lattice Based on Concept-matrix

CHEN Zhen ZHANG Na WANG Su-jing

(College of Computer Science and Technology, Jilin University, Changchun 130012, China)

**Abstract** Concept lattice, the core data structure in FCA(Formal Concept Analysis), has been widely used in machine learning and data mining. In its applications, building concept lattice is very important, for which an efficient algorithm CMCG based on concept-matrix was put forward. The algorithm started from the top node of the lattice, generated all subnodes for each node using the rank of the concept matrix's attributes, completed the link between the subnodes and their parent, and generated the Hasse graph. The validity of the algorithm was proved in theory. In the end, the pseudo code of CMCG algorithm was given and that performance of CMCG is superior in time to lattice algorithm was proved by experiments.

**Keywords** Concept lattice, Concept matrix, Rank of matrix, Formal concept analysis, Hasse graph

## 1 引言

20 世纪 80 年代初,德国的 Wille 教授提出了形式概念分析理论<sup>[1]</sup>。经过二十几年的发展,概念格作为形式概念分析的核心数据结构,已经成为一种用于数据组织和数据分析的形式化工具,在数字图书馆及文献检索、软件工程、数据挖掘等许多领域得到了广泛应用<sup>[2]</sup>。在交通枢纽仿真中,可以通过概念格分析出逻辑设施(通道、入口、出口等概念)之间的相互关系,并在分析仿真结果后给出合理的评价标准。概念格的构造是应用形式概念分析的前提,但是构造的效率却很难令人满意,因而人们对此进行了广泛的研究,提出了多种不同的构造算法。这些算法主要分为两大类:增量算法和批处理算法。典型的增量算法有 Godin<sup>[3]</sup>,Capineto<sup>[4]</sup>和 T. B. Ho<sup>[5]</sup>的算法;典型的批处理算法有 NextClourse 算法<sup>[6]</sup>、Titanic 算法<sup>[7]</sup>、Nourine 算法<sup>[8]</sup>、Bordat 算法<sup>[9]</sup>和 Lindig 提出的 Lattice 算法<sup>[10]</sup>等,其中 Lattice 算法是一个较为高效的算法。

本文引入了概念矩阵这一思想,提出了基于概念矩阵的概念格生成算法 CMCG。基于此矩阵,利用属性的秩把一个概念的所有后继节点都找出来,并生成哈斯图。实验证明,CMCG 算法的时间性能要优于 Lattice 算法。

## 2 概念格的定义

本节简要介绍所需要的概念格的基本概念。在形式概念分析中,数据是用形式背景来表示的,下面给出它的形式化定义。文献[11]对形式概念分析中的定义有详细的介绍。

**定义 1** 一个形式背景(Formal Context)是一个三元组: $K=(O,A,R)$ ,其  $O$  中为对象(Object)的有限集合, $A$  为属性(Attribute)的有限集合, $R$  为  $O$  和  $A$  的二元关系,即  $R \subseteq O \times A$ 。对于  $x \in O, y \in A, (x, y) \in R$ ,表示“对象  $x$  具有属性  $y$ ”。

在本文中,如果  $(x, y) \in R$  记为 1,否则记为 0。这样一个形式背景就可以看成是一个由  $(0, 1)$  组成的矩阵,我们称这个矩阵为形式背景矩阵。图 1 是与表 1 中形式背景对应的形式

到稿日期:2009-11-09 返修日期:2010-01-26 本文受国家高技术研究发展计划(863 计划)(No. 2007AA11z124),国家科技支撑计划子课题(No. 2006BAJ18B02-06)资助。

陈 震(1949—),男,教授,主要研究方向为数据库、数据挖掘、决策支持,E-mail:nazhang08@mails.jlu.edu.cn;张 娜(1985—),女,硕士生,主要研究方向为计算机仿真、数据挖掘、机器学习;王甦菁(1976—),男,博士生,主要研究方向为机器学习、数据挖掘,E-mail:wangsj08@mails.jlu.edu.cn(通讯作者)。

背景矩阵。

表 1 一个简单的形式背景

	a	b	c	d	e	f	g	h
1	1	1	1	0	0	0	0	0
2	1	1	0	1	0	0	1	0
3	0	1	1	0	1	0	0	0
4	1	0	0	1	1	0	1	0
5	0	0	1	0	0	1	0	0
6	0	0	0	1	0	0	0	0
7	0	0	0	0	0	0	0	1

	a	b	c	d	e	f	g	h
1	1	1	1	0	0	0	0	0
2	1	1	0	1	0	0	1	0
3	0	1	1	0	1	0	0	0
4	1	0	0	1	1	0	1	0
5	0	0	1	0	0	1	0	0
6	0	0	0	1	0	0	0	0
7	0	0	0	0	0	0	0	1

图 1 表 1 中形式背景对应的形式背景矩阵

**定义 2** 设  $K=(O,A,R)$  为一形式背景。对于集合  $X \subseteq O$ , 记:  $f(X) = \{y \in A \mid \forall x \in X, (x,y) \in R\}$ , 表示对象  $X$  的共同属性集合。相应地, 对于集合  $Y \subseteq A$ , 记  $g(Y) = \{x \in O \mid \forall y \in Y, (x,y) \in R\}$ , 表示具有共同属性  $Y$  的对象集合。

**定义 3** 设  $K=(O,A,R)$  为一形式背景,  $X \subseteq O, Y \subseteq A$ , 如果  $f(X)=Y$  且  $g(Y)=X$ , 则称  $C=(X,Y)$  为  $K$  的一个概念, 此时称  $X$  为  $C$  的外延, 本文用  $Extent(C)$  表示  $C$  的外延; 称  $Y$  为  $C$  的内涵, 本文用  $Intent(C)$  表示  $C$  的内涵。我们用  $B(K)$  记  $K$  的所有概念组成的集合。

**定义 4** 设  $K=(O,A,R)$  为一形式背景,  $C_1=(X_1,Y_1), C_2=(X_2,Y_2)$  是  $K$  的两个概念, 规定

$$C_1 \leq C_2 \Leftrightarrow X_1 \subseteq X_2$$

此时, 称  $C_2$  为  $C_1$  的超概念 (superconcept), 称  $C_1$  为  $C_2$  的子概念 (subconcept)。

**定义 5** 称偏序集  $CS(K) = (B(K), \leq)$  为概念格。图 2 是对应表 1 的形式背景的概念格。

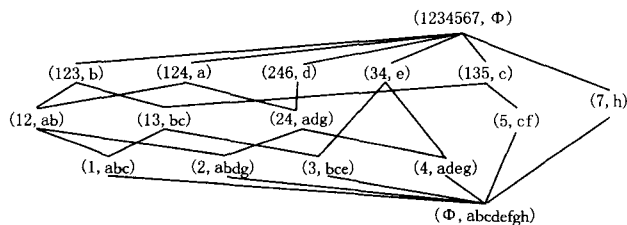


图 2 对应表 1 形式背景的概念格

**定义 6** 设  $K=(O,A,R)$  为一形式背景,  $CS(K)$  中两个不同的结点  $C_1=(X_1,Y_1)$  和  $C_2=(X_2,Y_2)$ , 如果满足  $C_1 \leq C_2$ , 则记为  $C_1 < C_2$ 。

**定义 7** 设  $K=(O,A,R)$  为一形式背景,  $CS(K)$  中两个不同的结点  $C_1=(X_1,Y_1)$  和  $C_2=(X_2,Y_2)$ , 如果  $C_1$  是  $C_2$  的子概念且不存在其它的结点  $C_3$  满足  $C_1 < C_3 < C_2$ , 则称  $C_1$  是  $C_2$  的子结点 (直接后继), 而称  $C_2$  是  $C_1$  的父结点 (直接前驱)。

由定义可知, 对于  $C_2$  的任何一个子结点  $C_1$ , 都有  $X_1 \subset X_2$ , 因为如果  $X_1 = X_2$ , 则  $C_1$  和  $C_2$  是同一个结点。

### 3 概念矩阵的定义和原理

**定义 8**<sup>[12]</sup> 设  $K=(O,A,R)$  为一形式背景, 对于某个属性  $y \in A$ , 在  $K$  的矩阵中, 如果  $y$  所对应的列有  $t$  个 1, 则称该属性的秩为  $t$ , 记为  $r(y)=t$ 。记  $m = \max\{r(y) \mid y \in A\}$ , 称  $m$  为形式背景的秩。

**定义 9** 设  $K=(O,A,R)$  为一形式背景,  $C=(X,Y)$  是  $K$  中的一个概念, 对于  $X$  中的每一个元素  $x$ , 从形式背景矩阵中取出  $x$  对应的行, 组成新的矩阵  $M$ , 则称  $M$  为概念  $C$  的概念矩阵。例如概念  $(124,a)$  的矩阵如图 3 所示。

	a	b	c	d	e	f	g	h
1	1	1	1	0	0	0	0	0
2	1	1	0	1	0	0	1	0
4	1	0	0	1	1	0	1	0

图 3 表 1 中概念  $(124,a)$  的矩阵

**定义 10** 设  $K=(O,A,R)$  为一形式背景,  $C=(X,Y)$  是  $K$  中的一个概念, 在  $C$  的概念矩阵中, 如果  $y$  所对应的列有  $t$  个 1, 则称在概念  $C$  中该属性的秩为  $t$ , 记为  $R_C(y)=t$ , 记  $m = \max\{R_C(y) \mid y \in A, y \notin Y\}$ , 称  $m$  为概念  $C$  的秩。

**性质 1** 概念  $C$  的所有不同于  $C$  的子概念的外延个数最大的是  $m$ 。

**证明:** 假设存在  $C_1=(X_1,Y_1)$ , 满足  $C_1 < C$  且  $m < |X_1|$ 。那么至少存在一个属性  $y$ , 在  $C$  的概念矩阵中,  $y$  所对应的列中是 1 的位置对应的行的集合就是  $X_1$ , 所以  $y$  所对应的列有  $|X_1|$  个 1, 这与  $C$  的秩是  $m$  矛盾。所以概念  $C$  的所有不同于  $C$  的子概念的外延个数最大的是  $m$ 。

**定义 11** 设  $K=(O,A,R)$  为一形式背景,  $C=(X,Y)$  是  $K$  中的一个概念, 对于集合  $Y_1 \subseteq A$ , 记  $g_C(Y_1) = \{x \in X \mid \forall y \in Y_1, (x,y) \in R\}$ , 表示  $X$  中具有共同属性  $Y_1$  的对象集合。

**定理 1** 设  $K=(O,A,R)$  为一形式背景,  $C=(X,Y)$  是  $K$  中的一个概念,  $m$  为概念  $C$  的秩,  $\forall y \in \{y \mid R_C(y)=m, y \in A\}$ , 记  $C_1=(g_C(y), f(g_C(y)))$ , 则  $C_1$  是  $C$  的子结点。

**证明:** 由定义 10 和定义 11 可知  $|g_C(y)|=m$ 。如果存在一个不同于  $C$  和  $C_1$  的结点  $C_2=(X_2,Y_2)$ , 使得  $C_1 < C_2$ , 则有  $m = |g_C(y)| < |X_2| < |X|$ , 又由性质 1 可知, 概念  $C$  的所有不同于  $C$  的子概念的外延个数最大的是  $m$ , 所以  $|X_2| \leq m$ , 这与  $m < |X_2|$  矛盾。所以  $C_1$  是  $C$  的子结点。

**定理 2** 设  $K=(O,A,R)$  为一形式背景,  $C=(X,Y)$  是  $K$  中的一个概念,  $m$  为概念  $C$  的秩,  $C_1=(g_C(y_1), f(g_C(y_1)))$  是  $C$  的子概念, 其中  $y_1 \in A$ , 且  $R_C(y_1)=m_1 > 0$ , 如果  $\forall C_2 \in \{C_2=(X_2,Y_2) \mid C_2 < C, m_1 < |X_2|\}$ , 都有  $g_C(y_1) \not\subseteq X_2$ , 则  $C_1$  是  $C$  的子结点。

**证明:** 假设存在  $C_2'=(X_2',Y_2')$ , 使得  $C_1 < C_2' < C$ , 则  $m_1 = |g_C(y_1) \cap X| < |X_2'| < |X|$ , 所以  $C_2' \in \{C_2=(X_2,Y_2) \mid C_2 < C, m_1 < |X_2|\}$ , 于是  $g_C(y_1) \not\subseteq X_2'$ 。又因为  $C_1 < C_2' < C$ , 所以  $g_C(y_1) \subseteq X_2'$ , 这与  $g_C(y_1) \not\subseteq X_2'$  矛盾。所以  $C_1$  是  $C$  的子结点。

### 4 CMCG 算法

#### 4.1 计算子结点的算法

本算法的思想是通过计算概念  $C$  的矩阵中每个属性的秩, 从而得到  $C$  的所有子结点集合。

例如针对表 1 的形式背景,求概念  $C=(124,a)$  的所有子结点集合。 $C$  的秩等于 2。从图 3 可以看出  $C=(124,a)$  的矩阵中,  $R_c(b)=R_c(d)=R_c(g)=2=C$  的秩,其中属性  $d$  对应的列和属性  $g$  对应的列相同。由定理 1 知  $(g_c(b), f(g_c(b)))=(12,ab)$  是  $(124,a)$  的一个子结点。对于属性  $d$  和属性  $g$  来说,因为它们的概念  $(124,a)$  的矩阵中对应的列相同,所以应用定理 2 会产生两个相同的  $(124,a)$  的子结点。为了避免重复计算,可以把定理 1 中的属性  $y$  看作为一个在概念矩阵中具有相同列向量的属性集合,这样就得出  $(g_c(dg), f(g_c(dg)))=(24,adg)$ 。

$f(g_c(dg))=\{adg\}=\{a\}\cup\{dg\}$ ,其中属性  $d$  和属性  $g$  是用矩阵秩的方法找到的,而  $\{a\}$  是概念  $C$  的内涵。于是  $f(g_{(x,y)}(Y_1))=Y\cup Y_1$ 。我们在下面介绍的算法中就是这样计算  $f(g_{(x,y)}(Y_1))$  的。

这样就把概念  $(124,a)$  的矩阵中秩为 2 的属性都遍历完了。接下来遍历秩为 1 的属性。从图 3 可以看出  $C=(124,a)$  的矩阵中,  $R_c(c)=R_c(e)=1$ 。而  $g_c(c)=\{1\}\subseteq\{12\}$ ,由定理 2 知  $(g_c(c), f(g_c(c)))$  不是  $(124,a)$  的子结点。同理,  $g_c(e)=\{4\}\subseteq\{24\}$ ,由定理 2 知  $(g_c(e), f(g_c(e)))$  也不是  $(124,a)$  的子结点。

下面给出求给定概念的所有子结点集合的算法 SUBNODES,如表 2 所列。

表 2 求给定概念的所有子结点集合的算法 SUBNODES

Algorithm SUBNODES( $C, K$ )

输入:给定的概念  $C=(X, Y)$  和形式背景  $K=(O, A, R)$

输出:概念  $C$  的所有子结点集合  $subnodes$

```

1  subnodes ← ∅
2  if |X|=1 then return(∅, A)
3  M ← C 对应的概念矩阵
4  计算各属性在概念矩阵中的 M 秩
5  m ← C 的秩
6  if m=0 then return(∅, A)
7  do while m>0
8  S ← 秩为 m 的属性集合
9  do while S ≠ ∅
10 Y1 ← 从 S 中取出一个属性,并且从 S 中取出和这个属性在 M
    中具有相同列的属性组成的集合
11 S ← S - Y1
12 X1 ← gC(Y1)
1 Y1 ← Y ∪ Y1
2 if 对于 subnodes 中的每个概念 C2=(X2, Y2) 都有 X1 ⊄ X ∩ X2
    then subnodes ← subnodes ∪ (X1, Y1)
3 loop
4 m ← m - 1
5 loop
6 return subnodes

```

#### 4.2 结点在有向图中的存储

我们方法中,用一个有向图  $G$  来存储概念格。伪码如表 3 所列。

表 3 算法 CMCG

Algorithm CMCG( $(O, A, R)$ )

输入:形式背景  $(O, A, R)$

输出:概念格

```

1 将顶层结点  $(O, \emptyset)$  加入到图  $G$  中
2 do while
3 从图  $G$  中选择中所有出度为 0 的结点,放入集合  $S$  中去
4 if  $S$  中只有一个元素,并且这个元素是  $(\emptyset, A)$  then return

```

```

5 foreach C in S
6 foreach C1 in SUBNODES(C)
7 把结点 C1 加入图 G 中
8 把边  $(C, C_1)$  加入图 G 中
9 loop
10 loop
11 loop

```

其中第 7 步把结点  $C_1$  加入图  $G$  中,需要先查询结点  $C_1$  是否已经存在。若结点数量很大,这种查询的操作是相当费时的。Lattice 算法中采用搜索树来完成。对搜索树的查询所花的时间也是随着结点的数量增加而增加的。而且,如果使用 AVL 树,当增加结点时,需要对 AVL 树进行平衡的调整,这需要花费一定的时间。

在 CMCG 算法中,把 Trie 树用于结点的搜索。在一个概念格中,概念和概念的内涵或外延是一一对应的。这里选择概念的内涵作为确定一个概念的关键字,因为一般情况下对于形式背景  $K=(O, A, R)$  来说,总是  $|O| > |A|$ 。可以把内涵用一个定长的  $(0, 1)$  组成的字符串表示,字符串长度为  $|A|$ 。例如概念  $(5, cf)$ ,其内涵  $\{cf\}$  可以表示成 00100100。然后用一个度为 2、高为  $|A|$  的 Trie 树来存储这个内涵。

其优点是:1) 对一个结点的一次查询最坏的时间代价是一个常量,这个常量和结点的数量是无关的;2) 因为它是把关键字分解存储到 Trie 树的每个结点上,所以它需要的空间也比较少。

## 5 实验结果

为了进行实验评价,使用 C++ 语言实现了 CMCG 算法和 Lattice 算法。在算法的实现过程中,使用了一些特殊的数据结构对算法进行优化,以获得最好的时间性能。通过自定义的位集合类(BitSet)及其操作来提高集合之间运算的速度。位集合类是将集合看成是内存中某个连续的空间,集合中的每个元素对应于这段内存空间中的某些位。这样,集合之间的操作就可以用内存中位运算来实现,从而提高集合运算的速度。

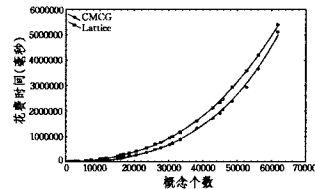


图 4 第 1 组数据 CMCG 算法和 Lattice 算法所花总时间

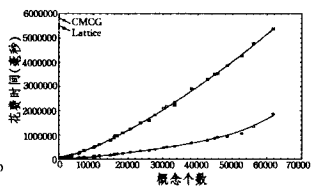


图 5 第 1 组数据 CMCG 算法和 Lattice 算法相应地为每个节点生成的所有子节点的函数所花的时间

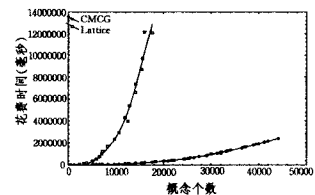


图 6 第 2 组数据 CMCG 算法和 Lattice 算法所花总时间

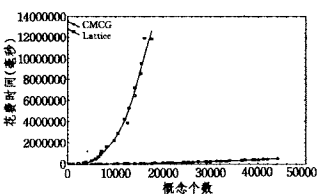


图 7 第 2 组数据 CMCG 算法和 Lattice 算法相应地为每个节点生成的所有子节点的函数所花的时间

对比实验在 CPU 为 1.7G、内存 1GB、操作系统为

Fedora Core 5 的 IBM ThinkPad T42 笔记本上进行。使用的测试数据是通过 Galicia(<http://www.iro.umontreal.ca/~galicia/>)随机生成的两组数据。第 1 组由对象数目×属性数目分别是  $50 \times 20, 50 \times 25, 50 \times 30, \dots, 50 \times 200$  的 37 组不同的形式背景组成。形式背景填充率( $|R|$ 除以 $|O| \times |A|$ )都为 30%。我们让对象的数目不变,属性数目不断增加。第 1 组数据的算法总时间和为每个节点生成的所有子节点函数所花时间分别如图 4、图 5 所示。第 2 组由对象数目×属性数目分别是  $50 \times 20, 100 \times 20, 150 \times 20, \dots, 3000 \times 20$  的 50 组不同的形式背景组成。形式背景填充率都为 30%。这组数据我们让属性的数目不变,对象数目不断增加。第 2 组数据的算法总时间和为每个节点生成的所有子节点函数所花时间分别如图 6、图 7 所示。

比较这几幅图,可以发现当属性的个数不变时,随着概念个数的增加,CMCG 算法比 Lattice 算法越来越快。从图 8 中也可以发现,用 Trie 树来代替搜索树,也能一定程度上提高算法的时间性能。

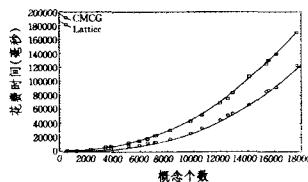


图 8 第 2 组数据 CMCG 算法和 Lattice 算法相应地在有向图 G 中插入顶点和插入边的函数所花时间

**结束语** 目前,构造概念格的算法很多,本文引入了概念矩阵,基于该矩阵,利用秩把这个概念的所有后继结点都找出来。同时用实验证明了 CMCG 算法比 Lattice 算法要快。实验中还发现搜索一个概念是否已经在图中存在的操作也花费了大量的时间,如何减少这个搜索时间也是值得进一步去研究的。

(上接第 146 页)

的复杂性,而且不利于维护与演化,软件产品线中尤其如此。我们提出的基于横切特征的体系结构重构方法,分为横切特征分析与体系结构重构两个阶段。本方法能在软件需求阶段发现横切特征,然后指导初始体系结构横切方面的提取,实现体系结构方面化重构。在本方法的基础上,我们实现了重构工具,并对运输管理系统进行了实验。实验结果表明我们的方法是可行的,能够自动进行横切分析与体系结构的重构。

我们的重构方法在体系结构层没有涉及到代码实现层,以后的工作就是在代码层研究重构。同时,重构前后的量化比较指标也是重要的。

## 参考文献

- [1] Zhang Wei, Mei Hong, Zhao Haiyan. A Feature-oriented Approach to Modeling Requirements Dependencies[C]//Proc. of the 13th IEEE International Conference on Requirements Engineering. USA: IEEE, 2005: 1-3
- [2] Shaw M, Garlan D. Software Architectures: Perspectives on an Emerging Discipline[M]. USA: Prentice Hall, 1996
- [3] Pinto M, Fuentes L. AO-ADL: An ADL for Describing Aspect-oriented Architectures [C] // Early Aspects 2007 Workshop,

## 参考文献

- [1] Wille R. Restructuring lattice theory: An approach based on hierarchies of concepts[C]//Rival I. Ordered Sets. Dordrecht, Boston; Reidel, 1982: 445-470
- [2] Oosthuizen G D. The application of concept lattice to machine learning[R]. South Africa: University of Pretoria, 1996
- [3] Godin R. Incremental concept formation algorithm based on Galois (concept) lattices [J]. Computational Intelligence, 1995, 11 (2): 246-267
- [4] Carpineto C, Romano G. Galois: an order-theoretic approach to conceptual clustering [C] // Proceedings of ICML-93. Utgoff Ped, 1993: 33-40
- [5] Ho T B. Incremental conceptual clustering in the framework of Galois lattice[C]// LU Hong-Jun, Motoda H, LIU Huan, eds. KDD: Techniques and Applications. Singapore: World Scientific, 1997: 49-64
- [6] Ganter B. Two basic algorithms in concept analysis. FB4-Preprint No. 831, TH Darmstadt
- [7] Stumme G, Taouil R, Bastide Y, et al. Fast computation of concept lattices using data mining techniques[C]// Proceedings of 7th International Workshop on Knowledge Representation Meets Databases (KRDB 2000). Berlin, 2000: 129-139
- [8] Nourine L, Raynaud O. A fast algorithm for building lattices[C]// Workshop on Computational Graph Theory and Combinatorics. Victoria, 1999: 199-204
- [9] Bordat J P. Calcul pratique du treillis de Galois d'une correspondance[J]. Math. Sci. Hum., 1996: 31-47
- [10] Lindig C. Fast concept analysis [C]// Stumme G. ed, Working with Conceptual Structures-Contributions to ICCS 2000. Shaker Verlag, Aachen, Germany, 2000
- [11] Ganter B, Wille R. Formal Concept Analysis: Mathematical Foundations[M]. Berlin: Springer, 1999
- [12] 翟岩慧, 曲开社, 曹桃云. 基于矩阵秩的概念格生成算法[J]. 电脑开发与应用, 2006, 19(5): 11-12

LNCS 4765. 2007: 94-114

- [4] van den Berg K, Conejero J M, Hernandez J. Analysis of Cross-cutting in Early Software Development Phases Based on Traceability[C]//Transactions on AOSDIII, LNCS 4620. 2007: 73-104
- [5] Clarke S, Baniassad E. Theme: An Approach for Aspect-oriented Analysis and Design[C]//Proc. of the 26th International Conference on Software Engineering. 2004
- [6] Baniassad E, Moreira A, Araujo J, et al. Discovering early aspects[J]. IEEE Software, 2006, 23(1): 61-70
- [7] Allen R. A Formal Approach to Software Architecture [D]. USA: School of Computer Science Carnegie Mellon University, 1997
- [8] Allen R, Garlan D. A Formal Basis for Architectural Connection [J]. ACM Transactions on Software Engineering and Methodology, 1997, 6(3): 213-24
- [9] Peng Xin, Zhao Wenyun, Xun Yunjiao, et al. Ontology-based Feature Modeling and Application-oriented Tailoring [C] // ICSR LNCS 4039. 2006: 87-100
- [10] 张伟, 梅宏. 一种面向特征的领域模型及其建模过程[J]. 软件学报, 2003, 14(8)
- [11] 孙昌爱, 金茂忠, 刘超. 软件体系结构研究综述[J]. 软件学报, 2002, 13(7)